



Министерство науки и высшего образования Российской Федерации  
федеральное государственное бюджетное образовательное учреждение  
высшего профессионального образования  
«Московский государственный технический университет имени  
Н.Э. Баумана (национальный исследовательский университет)»  
(МГТУ им. Н.Э. Баумана)

ФАКУЛЬТЕТ «Робототехники и комплексной автоматизации»  
КАФЕДРА «Системы автоматизированного проектирования (РК-6)»

## ОТЧЕТ О ВЫПОЛНЕНИИ ЛАБОРАТОРНОЙ РАБОТЫ по дисциплине «Вычислительная математика»

Студент:	Караф Сармат Майк
Группа:	РК6-52Б
Тип задания:	лабораторная работа
Тема:	Использование аппроксимаций для численной оптимизации

Студент

\_\_\_\_\_  
подпись, дата

Караф С.М.  
\_\_\_\_\_  
Фамилия, И.О.

Преподаватель

\_\_\_\_\_  
подпись, дата

Соколов А. П.  
\_\_\_\_\_  
Фамилия, И.О.

Москва, 2021

# Содержание

<b>Использование аппроксимаций для численной оптимизации</b>	<b>3</b>
1    Задание . . . . .	3
2    Цель выполнения лабораторной работы . . . . .	5
3    Выполненные задачи . . . . .	5
4    Базовая часть . . . . .	6
4.1 Разработка функции для целочисленного интегрирования с помощью составной формулы Симпсона. . . . .	6
4.2 Разработка функции для целочисленного интегрирования с помощью составной формулы трапеции. . . . .	6
4.3 Построение графика зависимости абсолютной погрешности числен- ного интегрирования от шага интегрирования для обеих формул	7
4.4 Определение порядка точности формулы по полученному графику . .	10
4.5 Сравнение порядок полученного с помощью графика, с аналитиче- ским порядком точности . . . . .	11
4.6 Определение оптимального шага интегрирования для формул мини- мизирующий полученную погрешность . . . . .	11
5    Заключение . . . . .	12

# Использование аппроксимаций для численной оптимизации

## 1 Задание

Методы аппроксимации, такие как интерполяция и численное интегрирование, часто используются как составные блоки других, более сложных численных методов. В данной лабораторной работе мы рассмотрим одну из старейших задач вариационного исчисления: задачу о брахистохроне, т.е. задачу о кривой наискорейшего спуска. Она состоит в нахождении такой кривой, по которой материальная точка из точки  $(x, y) = (0, 0)$  достигнет точки  $(x, y) = (a, y_b)$  под действием силы тяжести за наименьшее время (здесь и далее ось  $y$  направлена вниз). Решением этой задачи является такая кривая  $y(x)$ , которая минимизирует следующий функционал, являющийся полным временем движения материальной точки:

$$F[y] = \int_a^b \sqrt{\frac{1 + (y'(x))^2}{2gy(x)}} dx, \quad (1)$$

где  $g$  обозначает ускорение свободного падения, и  $y(x) = dy/dx$ . Эта задача имеет аналитическое решение, которым является параметрически заданная циклоида:

$$\begin{bmatrix} x(t) \\ y(t) \end{bmatrix} = C * \begin{bmatrix} t - \frac{1}{2} \sin(2t) \\ \frac{1}{2} - \frac{1}{2} \cos(2t) \end{bmatrix}, \quad (2)$$

где  $t \in [0; T]$  и  $C, T$  являются константами, значения которых находятся из граничного условия. В базовой части требуется воспользоваться численным интегрированием для нахождения полного времени движения материальной точки по кривой наискорейшего спуска. В продвинутой части требуется разработать метод для нахождения аппроксимации этой кривой. Здесь и далее принимается  $b = 2$  и  $y_b = 1$ . Константы циклоиды для этого граничного условия равны  $C = 1.03439984$ ,  $T = 1.75418438$

Базовая часть:

1. Написать функцию `composite_simpson(a, b, n, f)` численного интегрирования функции  $f$  на интервале  $[a; b]$  по  $n$  узлам с помощью составной формулы Симпсона.
2. Написать функцию `composite_trapezoid(a, b, n, f)` численного интегрирования функции  $f$  на интервале  $[a; b]$  по  $n$  узлам с помощью составной формулы трапеций.
3. Рассчитать интеграл (1) для функции  $y(x)$ , соответствующей кривой наискорейшего спуска, с помощью составной формулы Симпсона и составной формулы трапеций для множества значений  $n \in [3; 9999]$ . Постройте log-log график зависимости абсолютной погрешности численного интегрирования от шага интегрирования для обеих формул.

4. Объясните, каким образом по полученному графику можно определить порядок точности формулы.
5. Для обеих формул сравните порядок, полученный с помощью графика, с аналитическим порядком точности.
6. Существует ли оптимальный шаг интегрирования для данной формулы, минимизирующий достижимую погрешность? Обоснуйте свой ответ.

Продвинутая часть:

1. Используя кусочно-линейную интерполяцию с равноудаленными узлами, преобразовать задачу о минимизации функционала (1) к полудискретной форме, где аргументами минимизации будут параметры кусочно-линейной интерполяции.
2. Далее, используя составную формулу Симпсона, преобразовать задачу к полностью дискретной форме.
3. Решить полученную задачу минимизации, используя различные конфигурации дискретизации: с шагом интерполяции и шагом интегрирования от  $10^{-3}$  до 1.
4. Используя log-log графики и линии уровня, оценить зависимость погрешности-решения от шага интерполяции и шага интегрирования.

## 2 Цель выполнения лабораторной работы

Цель выполнения лабораторной работы – Найти полное время движения материальной точки по кривой наискорейшего спуска, воспользовавшись численным интегрированием при помощи составных формул Сипсона и трапеции, проанализировать зависимость величины абсолютной погрешности от шага интегрирования для реализованных методов.

## 3 Выполненные задачи

Базовая часть:

1. Разработана функция  $composite\_simpson(a, b, n, f)$  численного интегрирования функции  $f$  на интервале  $[a; b]$  по  $n$  узлам с помощью составной формулы Симпсона.
2. Разработана функция  $composite\_trapezoid(a, b, n, f)$  численного интегрирования функции  $f$  на интервале  $[a; b]$  по  $n$  узлам с помощью составной формулы трапеций.
3. Построен график зависимости абсолютной погрешности численного интегрирования от шага интегрирования для обеих формул, рассчитав интеграл (1) для функции  $y(x)$ , соответствующей кривой наискорейшего спуска.
4. Определить порядок точности формулы по полученному графику .
5. Сравнить порядок, полученный с помощью графика, с аналитическим порядком точности.
6. Определить оптимальный шаг интегрирования для формул минимизирующий полученную погрешность.

## 4 Базовая часть

### 4.1 Разработка функции для целочисленного интегрирования с помощью составной формулы Симпсона.

Пусть  $x_i = a + (i - 1)h$ ,  $h = \frac{b-a}{n}$  и  $i = 1, \dots, n + 1$ , где  $n$  – четное число. Тогда существует такое  $\xi \in (a; b)$  для  $f(x) \in C^4[a; b]$ , что составная формула Симпсона имеет вид:

$$\int_a^b f(x)dx = \frac{h}{3} \left[ f(x_1) + 2 \sum_{i=1}^{n/2-1} f(x_{2i+1}) + 4 \sum_{i=1}^{n/2} f(x_{2i}) + f(x_{n+1}) \right] - \frac{(b-a)h^4}{180} f^{(4)}(\xi) \quad (3)$$

Для нахождения численного значения интеграла функции (3) с помощью составной формулы Симпсона разработана функция `composite_simpson(a, b, n, f)` на языке Python.

Функция `composite_simpson(a, b, n, f)`, реализовывающая эти вычисления, представлена в файле `Lab_2_Base.py` и в Листинге 1.

Листинг 1. Реализация функции `composite_simpson(a, b, n, f)`

```
1 def composite_simpson(a, b, n, f):
2     if n % 2 != 0:
3         n = n + 1
4     x = np.linspace(a, b, n + 1)
5     h = (b - a) / n
6     sum_odd = np.sum([f(x_) for x_ in x[2:-1:2]])
7     sum_even = np.sum([f(x_) for x_ in x[1::2]])
8     return h / 3. * (
9         f(x[0]) + 2. * sum_odd + 4. * sum_even + f(x[-1]))
```

Входные данные функции:  $a$  - нижний предел интегрирования,  $b$  - верхний предел интегрирования,  $n$  - число узлов, в которых должна быть вычислена подынтегральная функция,  $h$  - шаг интегрирования,  $f$  - интегрируемая функция (1).

Выходные данные: численное значение интеграл при помощи составной формулы Симпсона (3).

### 4.2 Разработка функции для целочисленного интегрирования с помощью составной формулы трапеции.

Пусть  $x_i = a + (i - 1)h$ ,  $h = \frac{b-a}{n}$  и  $i = 1, \dots, n + 1$ , где  $n \in \mathbb{N}$ . Тогда существует такое  $\xi \in (a; b)$  для  $f(x) \in C^2[a; b]$ , что составная формула трапеций имеет вид:

$$\int_a^b f(x)dx = \frac{h}{2} \left[ f(x_1) + 2 \sum_{i=2}^n f(x_i) + f(x_{n+1}) \right] - \frac{(b-a)h^2}{12} f''(\xi) \quad (4)$$

Для нахождения численного значения интеграла функции (4) с помощью составной формулы трапеции разработана функция `composite_trapezoid(a, b, n, f)` на языке Python.

Функция `composite_trapezoid(a, b, n, f)`, реализовывающая эти вычисления, представлена в файле `Lab_2_Base.py` и в Листинге 2.

Листинг 2. Реализация функции `composite_trapezoid(a, b, n, f)`

```
1 def composite_trapezoid(a, b, n, f):
2     x = np.linspace(a, b, n + 1)
3     h = (b - a) / n
4     sum_trap = np.sum([f(x_) for x_ in x[1:-1]])
5     return h / 2. * (f(x[0]) + 2 * sum_trap + f(x[-1]))
```

Входные данные функции:  $a$  - нижний предел интегрирования,  $b$  - верхний предел интегрирования,  $n$  - число узлов, в которых должна быть вычислена подынтегральная функция,  $h$  - шаг интегрирования,  $f$  - интегрируемая функция (1).

Выходные данные: численное значение интеграл при помощи составной формулы трапеции (4).3,4)

#### 4.3 Построение графика зависимости абсолютной погрешности численного интегрирования от шага интегрирования для обоих формул

Для построения графика зависимости абсолютной погрешности численного интегрирования от шага интегрирования (1) для обоих методов, аппроксимируем кубическим и производным кубического сплайна  $y(x), y'(x)$  (Листинге 3, 4) при заданных коэффициентах  $C = 1.03439984$  и  $T = 1.75418438$ , при  $t \in [0, T]$ . Для этого выполним последовательность действий, описанные в лабораторной работе № 1 по вычислительной математике<sup>1</sup>

Функция `qubic_spline(x, qs_coeff, x_nodes, y_nodes)`, реализовывающая вычисления  $y(x)$ , представлена в файле `Lab_2_Base.py` и в Листинге 3.

Листинг 3. Реализация функции `qubic_spline(x, qs_coeff, x_nodes, y_nodes)`

```
1 def qubic_spline(x, qs_coeff, x_nodes, y_nodes):
2     ind = binary_search(x_nodes, x)
3     if ind == 1e-21:
4         return ind
5     return y_nodes[ind] + (qs_coeff[0][ind] * (x - x_nodes[ind])) + (qs_coeff[1][ind] * ((x - x_nodes[ind]) ** 2)) + (qs_coeff[2][ind] * (x - x_nodes[ind]) ** 3)
```

Функция `d_qubic_spline(x, qs_coeff, x_nodes)`, реализовывающая вычисления  $y'(x)$ , представлена в файле `Lab_2_Base.py` и в Листинге 4.

<sup>1</sup>Ссылка на первую лабораторную работу [https://sa2systems.ru:88/edu/educmm/Karaf\\_S.M](https://sa2systems.ru:88/edu/educmm/Karaf_S.M)

Листинг 4. Реализация функции  $d\_qubic\_spline(x, qs\_coeff, x\_nodes)$

---

```

1 def d_qubic_spline(x, qs_coeff, x_nodes):
2     ind = binary_search(x_nodes, x)
3     if ind == 1e-21:
4         return 0
5     return qs_coeff[0][ind] + (2 * qs_coeff[1][ind] * (x - x_nodes[ind]))
6         + (3 * qs_coeff[2][ind] * ((x - x_nodes[ind]) ** 2))

```

---

Далее становится возможным выполнить целочисленное интегрирование. Так как в нижнем пределе интегрирования подынтегральное выражение (1) стремится к бесконечности, необходимо выбрать близкую, но не равную нулю значение. В данной работе было выбрано значение  $a = 0.01$ .

Разработана функция  $f\_y(x)$ , реализовывающая вычисления подынтегрального выражения, представлена в файле Lab\_2\_Base.py и в Листинге 5.

Листинг 5. Реализация функции  $f\_x(x)$

---

```

1 def f_y(x):
2     d_qs = d_qubic_spline(x, qs_coeff, x_nodes)
3     qs = qubic_spline(x, qs_coeff, x_nodes, y_nodes)
4     return np.sqrt((1 + (d_qs ** 2)) / (2 * 9.8 * qs))

```

---

Полученные значения подынтегрального выражения подставим в составные формулы (3), (4) и получим численное решение интеграла. Но, необходимо учесть, что данное решение является приближенным. Чтобы оценить погрешность решения построим график зависимости погрешности численного интегрирования от шага интегрирования. Значения абсолютной погрешности было рассчитано функциями `composite_simpson` и `composite_trapezoid` для 20000 узлов, что является приближенным к действительному значению. Также, были разработаны функции `error_cs(a, b, n, f_x)` и `error_ct(a, b, n, f_x)`, которые вычисляют абсолютную погрешность (Листинг 6). Шаг интегрирования задается количеством узлов  $n \in [3, 9999]$  и пределами интегрирования  $a = 0.01$   $b = 2$ . (Листинг 7)

Листинг 6. Реализация функций  $error\_cs(a, b, n, f\_x)$  и  $error\_ct(a, b, n, f\_x)$

---

```

1 def error_cs(a, b, n, f_x):
2     return np.abs(exact_value_s - composite_simpson(a, b, n, f_x))
3
4 def error_ct(a, b, n, f_x):
5     return np.abs(exact_value_t - composite_trapezoid(a, b, n, f_x))

```

---

Алгоритм построения log-log графиков зависимости абсолютной погрешности от шага интегрирования для обоих методов, представлена в файле Lab\_2\_Base.py и в Листинге 7.



Листинг 7. Реализация алгоритма построение log-log графиков

```
1 for n in range(3, 9999):
2     Sims.append(error_cs(a, b, n, f_x))
3     Trap.append(error_ct(a, b, n, f_x))
4     h1.append((b - a) / n)
5 h_scaling = np.logspace(-4, -2, 999)
6 plt.loglog(h1, Sims, 'o', markersize=1, label=r'simpson', )
7 plt.loglog(h1, Trap, 'o', markersize=1, label=r'trapezoid')
8 plt.legend()
9 plt.grid()
10 plt.show()
```

В результате получится log-log график зависимости абсолютной погрешности от шага интегрирования для **обоих** методов (Рис.1)

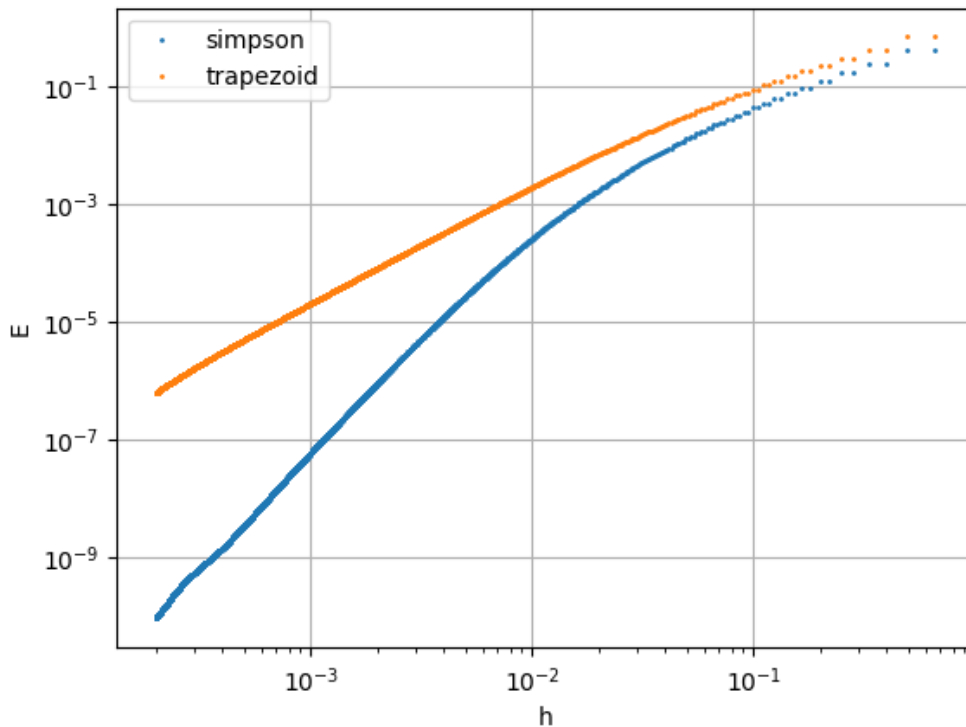


Рис. 1. log-log график зависимости абсолютной погрешности от шага интегрирования для **обоих** методов при  $n[0, 9999]$

#### 4.4 Определение порядка точности формулы по полученному графику

По полученному графику (Рис.1) возможно определение порядка точности.

Остаточный член составной формулы Симпсона (3) пропорционален  $O(h^4)$ , значит что аналитический порядок точности тоже пропорционален  $O(h^4)$ .

Остаточный член составной формулы трапеции (4) пропорционален  $O(h^2)$ . Значит, и аналитический порядок точности пропорционален  $O(h^2)$ .

Остаточный член составной формулы Симпсона и трапеции имеют следующую форму:

$$-\frac{(b-a)h^4}{180}f^{(4)}(\xi), \quad (5)$$

где  $\xi \in (a; b)$ ,  $F(x) \in C^4[a; b]$ .

$$-\frac{(b-a)h^2}{12}f''(\xi), \quad (6)$$

где  $\xi \in (a; b)$ ,  $F(x) \in C^2[a; b]$ .

Выведем порядки точности  $O(h)$ ,  $O(h^2)$  и  $O(h^4)$ , для определения порядка точности погрешности, чтобы по наклону графика погрешности к оси  $h$  можно было определить приблизительный порядок точности.(Рис.2)

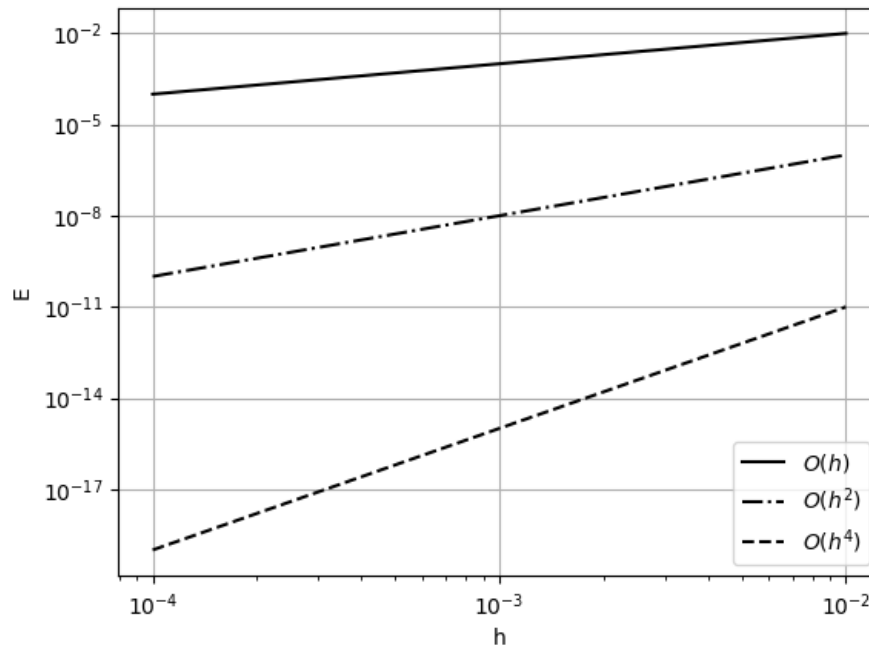


Рис. 2. порядки точности  $O(h)$ ,  $O(h^2)$  и  $O(h^4)$

#### 4.5 Сравнение порядок полученного с помощью графика, с аналитическим порядком точности

После определения порядка точности, можно отобразить на графике (Рис.1) зависимость погрешности от шага интегрирования обоими методами (3,4) и аналитическую точность (5,6) (Рис 3)

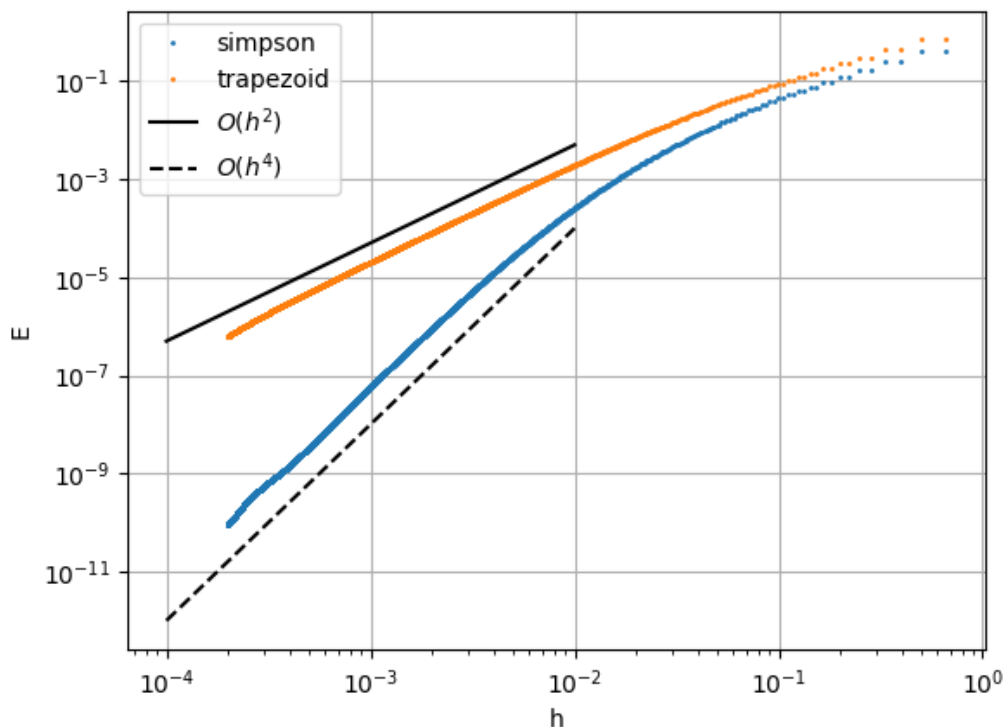


Рис. 3. log-log график зависимости абсолютной погрешности от шага интегрирования для обоих методов с выводом аналитических порядков точности

На графике (Рис. 3) видно, что численное значение погрешностей методов Симпсона и трапеции сильно приближенной к их аналитическому порядку (3,4)

#### 4.6 Определение оптимального шага интегрирования для формул минимизирующий полученную погрешность

После расчётов интеграла (1) формулами Симпсона и трапеции (3, 4) и найденной погрешности с остаточным членом для каждого случая, получается график (Рис .3). Так как погрешность расчётов интеграла не достигла машинного эпсилона, определить оптимальный шаг интегрирование нельзя однозначно

## 5 Заключение

По итогу выполненной работы были реализованные функции численного интегрирования составных формул Симпсона и трапеции, были вычислены абсолютные погрешности составных формул. Рассмотрена задача о кривой скорейшего спуска. Разработан метод нахождения аппроксимации, для решения задачи минимизации. Построены графики зависимости абсолютной погрешности от выбранных методов, так же были сделаны выводы по порядку точности и наличие оптимального шага

### Список использованных источников

1. Першин А.Ю. Лекции по курсу «Вычислительная математика». Москва, 2018-2021. С. 140.
2. Документация Python 3.9 [Электронный ресурс] [Официальный сайт]. 2021. (дата обращения 27.10.2021).

### Выходные данные

Караф С.М.. Отчет о выполнении лабораторной работы по дисциплине «Вычислительная математика». [Электронный ресурс] — Москва: 2021. — 12 с. URL: <https://sa2systems.ru:88> (система контроля версий кафедры РК6)

Постановка:



ассистент кафедры РК-6, PhD А.Ю. Першин

Решение и верстка:



студент группы РК6-52Б, Караф С.М.

2021, осенний семестр